

CHEMICKÝ PRŮMYSL

ROČNÍK 37 (62) • ČÍS. 2 • ÚNOR 1987

Volba tlakových úrovní v parním systému ethylenové jednotky

Jan Bartoš,

Chemopetrol, k. ú. o. Výzkumný ústav anorganické chemie, Ústí nad Labem,

Jiří Nájemník, Jaroslav Rážiška,

Chemopetrol, k. p. CHZ ČSSP, Litvínov

Redakce došlo 7. 2. 1986

547.313.2

V článku je ukázán vliv volby tlakových úrovní v parním systému na spotřebu páry a na ekonomiku výroby ethylenové jednotky.

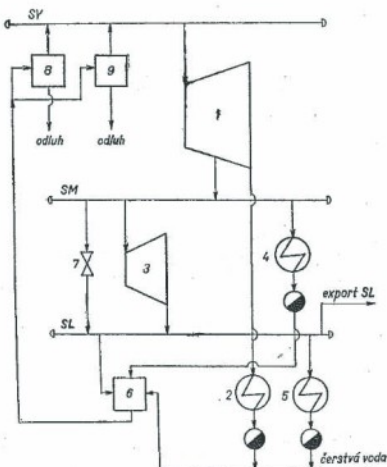
Úvod

Parní systém ethylenové jednotky se skládá ze tří tlakových parních okruhů. Velmi vysokotlaká pára (SY) se získává v kotlích na odpadní teplo 9 využitím tepla pyrolyzatických plynů na výstupu z pyrolyzátoru pece (obr. 1). SY pára se prakticky všechna spotřebuje v turbínách 1, které pracují částečně jako protitlaké, přičemž z jejich výfuku odeberá středotlaká pára (SM). Turbiny částečně pracují jako kondenzační, přičemž vlnitá pára z turbín se vede do kondenzátorů 2, v nichž kondenzuje při tlaku kolem 20 kPa. SM pára se přibližně ze 2/3 spotřebuje pro pohon čerpadel a kompresorů v turbinách 3, asi z 1/3 se využívá pro ohřev ve varářích 4. Nízketlaká pára (SL) odebraná z turbín 3 se přibližně z 1/3 spotřebuje pro ohřev napájecí vody v odplyňovači napájecí vody 6. SM pára může být v případě potřeby přímo redukována do SL páry redukté 7. Protože spotřeba SY páry v parním systému převyšuje její výrobu v kotlích na odpadní teplo 9, vyrábí se SY pára doplňkově v kotlích 8. Běžně používané tlakové hladiny jsou pro SY páru 11,5 MPa, pro SM páru 1,6 MPa, pro SL páru 0,46 MPa. Cílem předložené studie je ukázat vliv tlaku v jednotlivých okruzích parního systému na spotřebu páry SY v systému a na ekonomiku její výroby.

Model parního systému

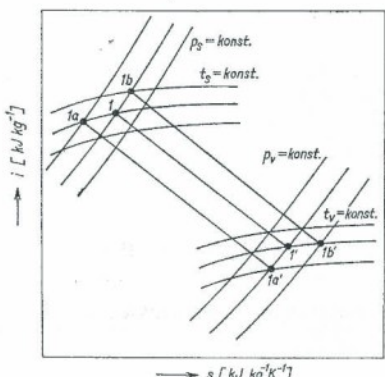
Předpokládáme, že termodynamická účinnost turbinohálných párou SY i SM je definována stavou páry SY, SM a SL. Znamená to, že turbíny 1 a 3 na

obrázku 1 jsou uvažovány jako jeden blok se stejnou účinností (obecně různou pro turbíny 1 a pro turbíny 3). V diagramu $i-s^1$ vodní páry je pracovní čára turbíny vyjádřena spojnicí stavu páry na vstupu, resp. výstupu z turbín (obr. 2, body 1, 1'). Předpokládejme, že malou změnou teploty nebo tlaku páry při vstupu



Obr. 1. Schéma parního systému ethylenové jednotky

do turbín ($\pm 5\%$) se nezmění termodynamická účinnost turbíny. Předpokládáme tudíž, že expenze páry v turbíně probíhá, při změně parametrů páry na vstupu, po čáre rovnoběžné s pracovní čárou turbíny.



Obr. 2. Pracovní čáry turbín v $i-s$ diagramu páry

Změnilo se např. tlak na sání p_a na p_{sl} (bod 1a, obr. 2) a teplota páry na sání se nezměnila, po expanzi na tlak p_v vznikne pára na teplotě t_{v2} (bod 1a', obr. 2). Změnilo se teplota páry z t_{sl} na t_{v2} (bod 1b, obr. 2) za konstantního tlaku na sání, po expanzi na teplotu t_v vznikne pára o tlaku p_{v2} (bod 1b', obr. 2). Do kondenzátoru 2 na obrázku 1 vstupuje z turbín vlhká pára s obsahem asi 5 % kapalné fáze. V kondenzační části turbíny model uvažuje změnu vlhkosti páry se zvýšením tlaku páry v kondenzátoru po pracovní čáře spojující v diagramu $i-s$ reálný stav páry SM se stavem páry na výstupu z kondenzační části turbíny podle projektu. Tento předpoklad je zaveden proto, že nejsou známy jiné hodnoty vlhkosti páry než uvádí výrobce turbín pro projektem danou hodnotu tlaku v kondenzátoru.

Předpoklad konstantní termodynamické účinnosti turbín při malé změně parametrů páry na vstupu, resp. výstupu umožňuje nalézt regresní vztah mezi entalpií páry na výstupu z turbín i_v a parametry páry na vstupu a výstupu z turbín

$$i_v = f(p_a, t_a, p_v) \quad (1)$$

přičemž odpovídající hodnoty p_a , t_a a p_v byly nalezeny v diagramu $i-s$.

Pro entalpii kondenzátu i_k opouštějího vařáky s teplotou kondenzace předpokládáme, že platí vztah získaný regresí tabulovaných hodnot² v uvažovaném tlakovém rozmezí

$$i_k = f(p) \quad (2)$$

Při stanovení entalpie velmi vysokotlaké páry lze použít univerzální rovnici podle Jazy³, popřípadě z tabulek² lze v úzkém intervalu tlaku a teploty získat vztah regresi

$$i_{SY} = f(p_{SY}, t_{SY}) \quad (3)$$

Bilanským měřením byly stanoveny výkony jednotlivých spotřebičů parního systému pro typické prosazení ethylenové jednotky. Výkony spotřebičů parního systému jsou uvedeny v tabulce I.

Tabulka I
Výkony spotřebičů v parním systému ethylenové jednotky

zařízení ^{a)}	výkon MW	zařízení ^{a)}	výkon MW
1	41,5	4	40,6
2	60,2	5	43,7
3	6,6	6	21,9

a) číslování je shodné s obrázkem 1

Byl sestaven bilanský model parního systému, kde vstupními konstantními veličinami byly hodnoty výkonu parních spotřebičů a teplota páry SY. Proměnnými parametry byly tlakové hladiny v parním systému. Spotřeba páry v jednotlivých spotřebičích byla počítána podle vztahu

$$m' = Q'/\Delta i \quad (4)$$

kde Q' je výkon zařízení, Δi je rozdíl entalpii páry na vstupu a výstupu ze zařízení. V případě vařáků je na výstupu ze zařízení uvažován kondenzát o teplotě odpovídající tlaku páry.

U odplyňovače 6 na obrázku 1 závisí spotřeba páry SL na tlaku páry SL. Teplota napájecí vody na vstupu do odplyňovače je prakticky konstantní, neboť po smíšení nízkotlakého kondenzátu a čerstvé vody se tato směs upravuje v tzv. demineralizační stanici, do níž přichází voda o teplotě požadované technologií demineralizace. Množství páry do odplyňovače bylo počítáno podle vztahu

$$m'_{od} = m'_{NVCP}(t_{od} - t_a)/\Delta H_k \quad (5)$$

kde m'_{NV} je suma nátku kondenzátu středotlaké páry a demineralizované páry do odplyňovače a t_a je střední teplota tohoto nátku.

Výsledky a diskuse

Pro ověření platnosti modelových předpokladů činnosti parních turbín při změnách parametrech páry byl proveden provozní experiment, při němž se tlak páry SL změnil z 0,44 na 0,48 MPa, tlak páry SM byl 1,65 MPa, teplota 300 °C. Spotřeba páry v turbínách 3 se zvýšila na 7,6 tun za hodinu, což do značné míry koresponduje s vypočtenou hodnotou podle modelových předpokladů (6,8 tun za hodinu). Tato shoda naměřeného a vypočteného údaje do značné míry opravňuje k tvrzení, že modelové předpoklady lze používat za reálné.

Parní systém uvedený na obrázku 1 byl uvažován jako autonomní, tj. veškeré páry potřebné pro zabezpečení provozu systému musí být využita v tomto systému. Přípustné jsou však stavy, časté v reálném systému, že se ze subsystému páry SL pára exportuje, protože pro ni není v subsystému SL upotřebení. Modelové výpočty pro různé tlakové poměry v systé-

mu a teplotu páry SY 506 °C poskytly za daných předpokladů data, z nichž byla gradientní metodou hledání extrému kritéria optimality funkce⁴⁾ nalezena závislost mezi spotřebou páry SY v systému a tlakem páry SY, SM a SL

$$m'_{SY} = ap_{SY} + p_{SY} + b(1,61 - p_{SM})^2 + \\ + cp_{SL} + d \quad (6)$$

kde a, b, c, d jsou kladné konstanty.

Ze vztahu (6) lze vyvodit, že z hlediska výroby páry SY, doplňkově získávané v kotlích S, by měl být tlak páry SM 1,61 MPa, neboť pro tento tlak nalezáme lokální minimum pro konstantní hodnotu tlaku páry SY a SL. Spotřebu páry SY lze snížit snížením tlaku páry SY a SL.

Nížší spotřebu páry SY v systému při nižším tlaku páry SY při konstantní teplotě 506 °C lze vysvětlit tím, že v oblasti tlaku 10 až 12 MPa s poklesem jejího tlaku při konstantní teplotě jeji entalpie roste. Nižší spotřeba páry SY v systému při poklesu tlaku páry SL je vytvářena zejména nižší spotřebou páry v deaerátoru, neboť se v něm napájí voda ohřívá při poklesu tlaku páry SL na nižší teplotu.

Minimální hodnoty tlaku páry SY a SL jsou dány parametry parních rozvodů a parních strojů.

Kromě vlivu tlaku páry SL na spotřebu páry SY v systému je však též nutno rozehrat vliv tlaku páry SY na výrobu páry SY, zejména na ekonomiku výroby.

S klesajícím tlakem páry SL klesá teplota napájecí vody vstupující do kotlů na výrobu páry SY. Předpokládáme, že se s klesající teplotou napájecí vody nezmění tepláková účinnost kotlů na odpadní teplotu 9, ani kotlů 8 na obrázku I. V tabulce II uvádime relativní spotřebu páry SY, relativní výrobu páry SY v kotlích 8 a 9 a relativní náklady na výrobu páry SY v kotlích 8 a 9 za uvedených předpokladů. Proměnnou veličinou je tu tlak páry SL. Z tabulky II je možno vyvodit, že s klesajícím tlakem páry SY se sice snižuje spotřeba páry SY v systému, avšak náklady na její výrobu jsou prakticky konstantní.

Tabulka II

Vliv tlaku páry SL na relativní spotřebu páry SY, relativní výrobu páry SY a relativní náklady na výrobu páry SY ($p_{SY} = 11,5$; $p_{SM} = 1,6$ MPa) — vztázeno k $p_{SL} = 0,48$ MPa

tlak SL páry ^{b)} (MPa)	relativní spotřeba páry SY	relativní výroba		relativní náklady	
		kotle 9a)	kotle 8a)	kotle 9)	kotle 8a)
0,48	1	1	1	1	1
0,45	0,996	0,996	0,998	1	1,001
0,42	0,994	0,992	0,997	1	1,002
0,39	0,991	0,988	0,995	1	1,004
0,36	0,988	0,984	0,993	1	1,006

a) číslování je shodné s obrázkem 1

b) extrapolace za předpoklad konstantní termodynamické těžnosti turbin při změně tlaku páry SL až o 25 %

V reálném zapojení kotlů na odpadní teplotu 9 se napájecí voda z odplyňovače 6 předechnívá spalinami z pyrolyzní pece. K tomu, aby kotly na odpadní teplotu 9 vytvořily i při nižší teplotě napájecí vody z odplyňovače za jinak stejných podmínek stejný množství páry SY, je třeba, aby se lépe využila tepla spalin proudících do komína, např. zvýšením výměnné plochy předechnívání napájecí vody. Protože se v pyrolyzních pecích používá ke spalování výhradně topný plyn téměř bez sloučenin síry, je možné uvažovat o teplotě v komíně kolem 160 °C; zatímco v současnosti je tato teplota 190 až 200 °C.

Závěr

Při posuzování tlakových hladin v již existujícím parním systému, ale zejména při jeho projekci, je výhodné modelovat vliv tlaku páry v jednotlivých tlakových hladinách na celkovou spotřebu páry. Samotná změna tlaku na jednotlivých tlakových hladinách nevede automaticky k úspore energie. Avšak dílčí tlakový rozbor tlakových poměrů v parním systému na spotřebu páry může odhalit potenciální rezervy.

V případě parního systému ethylenové jednotky je potenciální rezervou energetické úspory zvýšení využití tepla spalin pyrolyzních pecí pro předechnívání napájecí vody do kotlů na odpadní teplotu. Tento problém je technicky řešitelný; měla by mít však věnovaná pozornost v rámci projektové přípravy, neboť v již existujícím zařízení je možnost technických úprav omezena.

Seznam symbolů

a, b, c, d	— konstanty vztahu (6)
c_0	— střední měrné teplota vody
ΔH_k	— využitelné teplo páry při kondenzaci
i	— entalpie
m'	— hmotnostní tok
p	— tlak
Q'	— tepelný tok (vfkem) v zařízení
SL	— niskotlaká pára
SM	— středotlaká pára
SY	— velmi vysokotlaká pára
t	— teplota
t_a	— střední teplota nátku vody do odplyňovače

dolní indexy

k	— vztázeno ke kondenzátu
NV	— vztázeno k napájecí vodě
od	— vztázeno k odplyňovači
s	— vztázeno k sání turbín
v	— vztázeno k výfuku turbín

Literatura

1. Jíza J.: *o diagram vodní páry*, SNTL, Praha 1984.
2. Rivkin S. L., Alexandrov A. A.: *Teplotofázické vlastnosti vody i vodního paro*, Energija, Moskva 1980.
3. Jíza J.: *Strojírenství* 17 163 (1967).
4. Fletcher R., Powell M. J. D.: *Computer J.* 6, 163 (1963).